

1D – проводимость невзаимодействующих электронов

$$\varepsilon = \frac{\Box^2 k_{\parallel}^2}{2m} + \varepsilon_{\perp}(i), \quad i = 1, 2, \dots$$

$$\varepsilon \leq \varepsilon_F$$

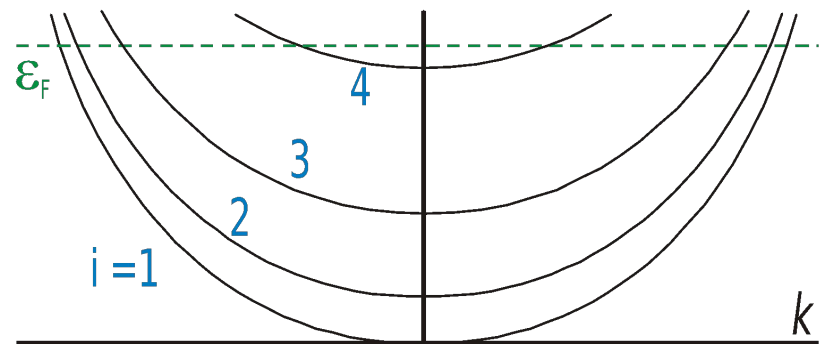
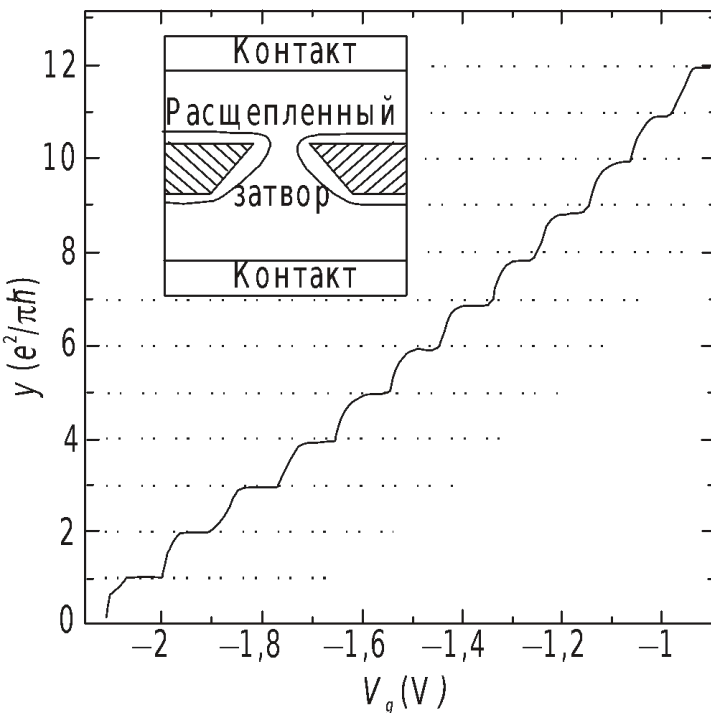


Идеальный 1D-проводник



$$J_i = ev_i \delta n_i = e \frac{1}{\hbar} \frac{\partial \epsilon}{\partial k} eV \frac{\partial n}{\partial \epsilon} = \frac{e^2}{\hbar} \frac{\partial \epsilon}{\partial k} \frac{\partial n}{\partial \epsilon} \frac{\partial k}{\partial \epsilon} V$$

1/2π



Число размерных подзон $i=4$

Число каналов $v=2i=8$

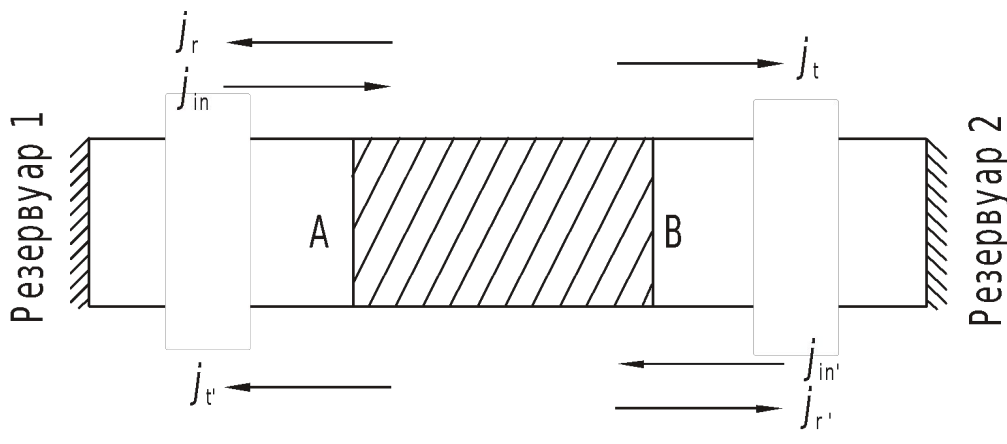
$$R_{id} = \frac{1}{v} \frac{2\pi \hbar}{e^2}$$

- 1. Не зависит от длины !
- 2. Диссипация без рассеяния !

Гетероструктура GaAs – Al_xGa_{1-x}As

B.J. van Wees,, L.P.Kouwenhoven et al.,
Phys.Rev. B38, 3625 (1988)

Формула Ландауэра



$$R = |r^2| \quad R + T = 1$$

$$T = |t^2|$$

$$\left[\begin{aligned} \delta V &= \frac{\delta n}{ge} = \frac{j_{in} + j_r + j'_t}{e^2 gv} - \frac{j'_{in} + j'_r + j_t}{e^2 gv} = \frac{2\mathcal{R}(j_{in} - j'_{in})}{e^2 gv} \\ J &= j_{in} - j_r - j'_t = T(j_{in} - j'_{in}) \end{aligned} \right]$$

$1/\pi$

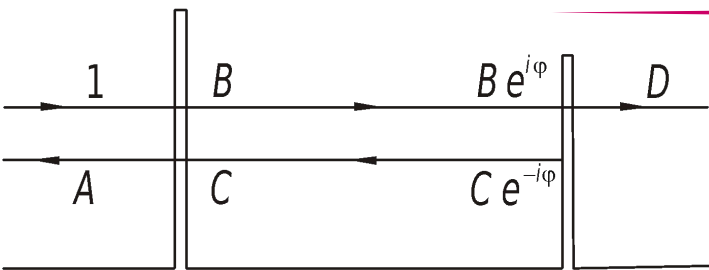
$$Y_{imp} = \frac{J}{\delta V} = \frac{e^2}{2\pi R} \frac{T}{R} = \frac{e^2}{2\pi} \frac{T}{1-T}$$

$$R_{imp} = \frac{2\pi R}{e^2} \frac{T}{1-T} = \frac{2\pi}{e^2} \frac{R}{1-R}$$

$$Y^{-1} = R_{id} + R_{imp} = \frac{2\pi}{e^2} \left(1 + \frac{R}{T} \right)$$

$$Y = \frac{e^2}{2\pi} T$$

Двухбарьерный дефект



$$T_s = |D|^2 = \frac{T_1 T_2}{1 + R_1 R_2 - 2\sqrt{R_1 R_2} \cos \theta},$$

$$\theta = 2\varphi + \arg(r_1 r_2)$$

$$\left. \begin{aligned} A &= r_1 + C t_1 \\ B &= t_1 + C r_1 \\ C e^{-i\varphi} &= B e^{i\varphi} r_2 \\ D &= B e^{i\varphi} t_2 \end{aligned} \right\}$$

Решение:

$$D = \frac{e^{i\varphi} t_1 t_2}{1 - e^{2i\varphi} r_1 r_2}$$

$\varphi = kl$ от расстояния l
и
зависит от импульса k

$$Y_s = \frac{e^2}{2\pi} \frac{T_s}{1 - T_s} = \frac{e^2}{2\pi} \frac{T_1 T_2}{R_1 + R_2 - 2\sqrt{R_1 R_2} \cos \theta}$$

Если два барьера одинаковы ($r_1 = r_2 = r$, $R_1 = R_2 = R$ и т.д.), то формула существенно упрощается

$$Y_s = \frac{e^2}{2\pi} \frac{T^2}{4R \sin^2(\theta/2)}, \quad \frac{\theta}{2} = \varphi + \arg r = kl + \arg r$$

Двухбарьерный дефект (продолжение)

Формулу

$$Y_S = \frac{e^2}{2\pi} \frac{T_s}{1 - T_s} = \frac{e^2}{2\pi} \frac{T_1 T_2}{R_1 + R_2 - 2\sqrt{R_1 R_2} \cos \theta}$$

можно сравнить с ...

**...классич.
выражением**

$$Y_S^{(cl)} = \frac{e^2}{2\pi} \left(\frac{R_1}{1 - R_1} + \frac{R_2}{1 - R_2} \right)^{-1} = \frac{e^2}{2\pi} \frac{T_1 T_2}{R_1 + R_2 - 2R_1 R_2}$$

**...и с результатом
усреднения**

$$\overline{\cos \theta} = 0$$

$$\overline{Y_S} = \frac{e^2}{2\pi} \frac{T_1 T_2}{R_1 + R_2}$$

Такое усреднение не всегда корректно, но в дальнейшем мы им воспользуемся

1D – локализация

Цепочка из N случайно расположенных слабых рассеивателей

$$\mathcal{R} \ll 1, \quad T \sim 1$$

в проволоке длиной $L = l\bar{N}$ (\bar{l} – среднее расстояние между рассеивателями)

*Вычисляем сопротивление
по рекуррентной формуле (по индукции)*

$$R_N = Y_N^{-1} = \frac{2\pi}{e^2} \frac{\mathcal{R}_N}{T_N} \approx \frac{2\pi}{e^2} \mathcal{R}_N$$

$$\frac{R_N}{T_N} = \frac{R_{N-1} + R}{T_{N-1} T}$$



*Мы воспользовались формулой,
полученной после усреднения*

*Пока N мало, \mathcal{R}_N и R_N растут линейно: $R_N \sim N$.
Это – закон Ома.*

1D – локализация (продолжение)

ОПРЕДЕЛЕНИЕ

$$R_N = N \frac{2\pi}{e^2} \mathcal{R}$$

$$R(L) = N \bar{l} \frac{k_F}{ne^2 l} = N \frac{2\pi}{e^2} \frac{\bar{l}}{l}$$

$$n = \frac{k_F}{2\pi}$$



Длина пробега $l = \bar{l}/\mathcal{R}$

$$\frac{R_N}{T_N} = \frac{R_{N-1} + R}{T_{N-1} T}$$

При больших N $R_N \approx R_{N-1} \approx 1$ и

$T_N \approx T_{N-1} T$, $T_N \rightarrow s(T) ^N = s e^{\alpha N}$ при $N \rightarrow \infty$,
 $(s = \text{const}, \alpha = \ln T < 0)$

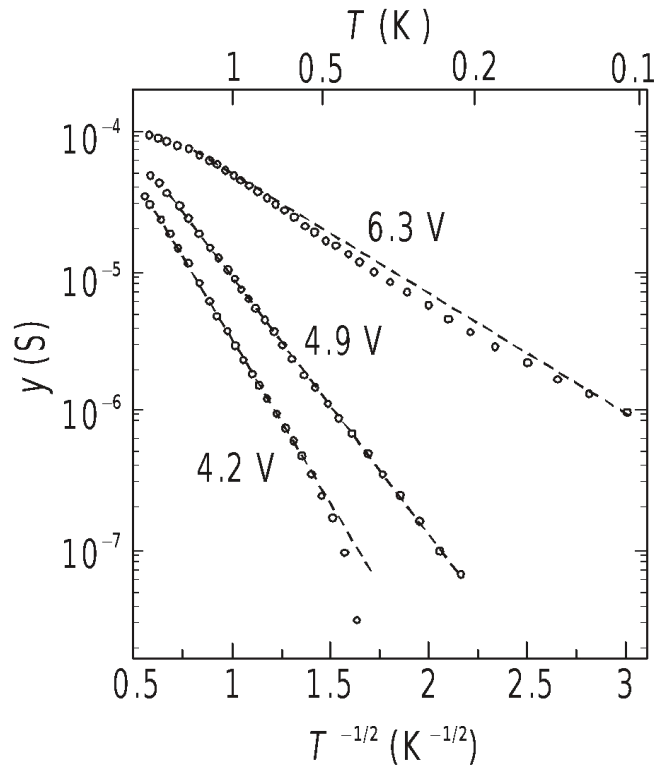
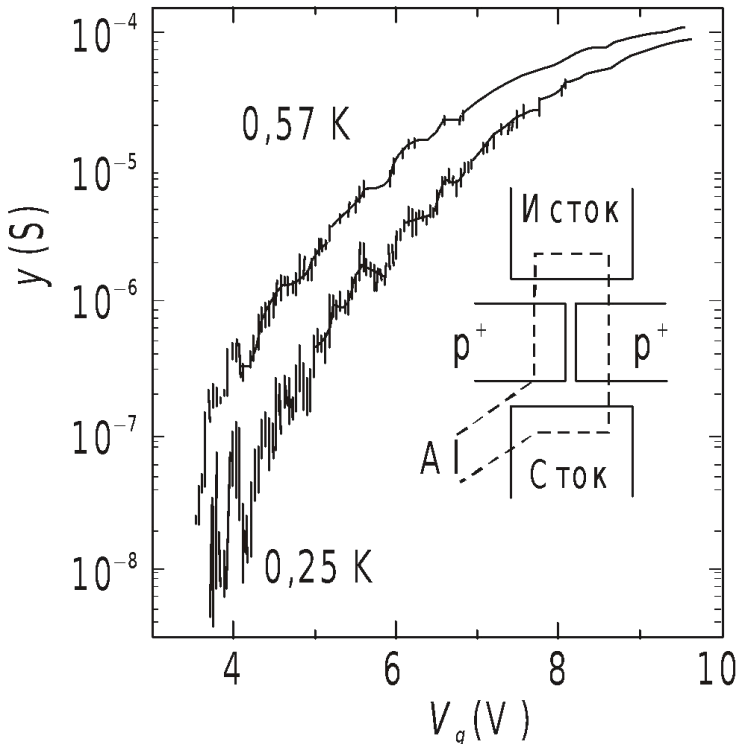
Другая форма записи

$$y(L) = T_N \approx s T^N \approx s e^{-L/\xi}, \quad \xi = \bar{l} / |\ln T| \approx \bar{l} / \mathcal{R} = l$$

В одноканальном 1D-проводнике $\xi = l$!!

Гигантский шумовой сигнал

*Если образец не отогревать,
то сигнал воспроизводится в
мельчайших подробностях*



*Температурная зависимость
проводимости при фиксированных
напряжениях на затворе, т.е. в
разных точках на шумовой кривой*

A.B.Fowler, A.Harstein, R.A.Webb, Phys.Rev.Lett. 48, 196 (1982)

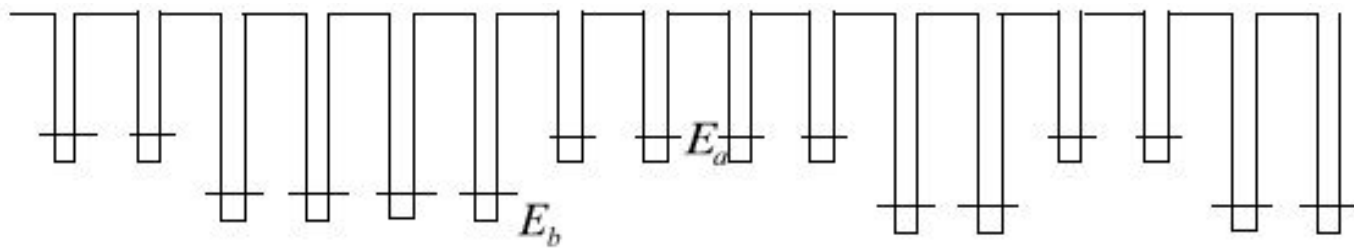
Роль корреляций

Рассеиватель из двух одинаковых барьеров на расстоянии ($r_1 = r_2 = r$ и т. д.)

$$Y_s = \frac{e^2}{2\pi} \frac{T^2}{4R \sin^2(\theta/2)}, \quad \frac{\theta}{2} = \varphi + \arg r = kl + \arg r$$

*абсолютно прозрачен для волны с волновым вектором $k = k_0 = -\arg r/l$.
Если заменить случайно расположенные барьеры на сдвоенные, то
электрон с энергией $\varepsilon_o = \hbar^2 k_o^2 / 2m$ окажется делокализованным.*

Димерная модель. Одномерная цепочка периодически расположенных пар ям двух сортов (E_a и E_b)



Если $|E_a - E_b| < 2J$, то делокализованным оказывается состояние

$$\cos k_0 a = \frac{(E_a - E_b)}{2J} \quad J - \text{интеграл перекрытия}$$

Микроволновое моделирование

$$\frac{1}{c^2} \frac{\partial^2 \Psi}{\partial t^2} = \Delta \Psi - U \Psi$$

Волновое уравнение

Подстановка

$$\Psi = e^{-i\omega t} \psi$$

$$\omega = ck$$

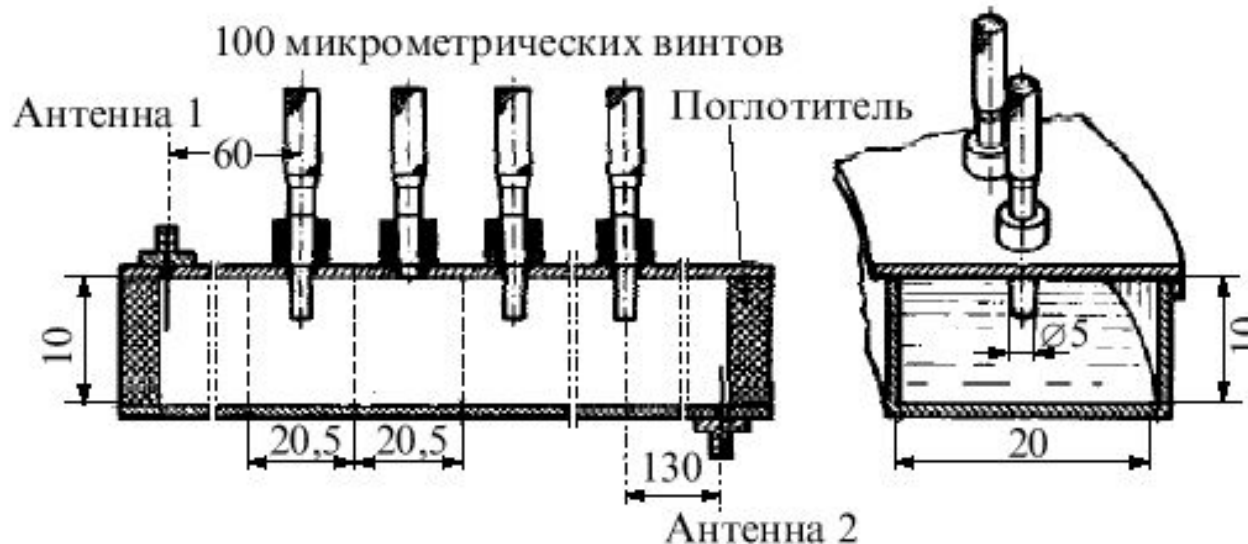
$$(\Delta - U + k^2) \Psi = 0$$

Уравнение Шредингера

$$i \square \frac{\partial \Psi}{\partial t} = - \frac{\square^2}{2m} \Delta \Psi + U \Psi$$

$$\omega = \frac{\square}{2m} k^2$$

U.Kuhl, F.M.Izrailev, A.A.Krokhin, and H.-J.Stöckmann, Appl. Phys. Lett .77, 633
(2000)



Алгоритм построения модельного потенциала, обеспечивающего появление окон прозрачности

Коэффициенты β_m обеспечивают корреляции между величинами u_n

$$u_n = \sqrt{u_n^2} \sum_{m=-\infty}^{\infty} \beta_m Z_{n+m},$$

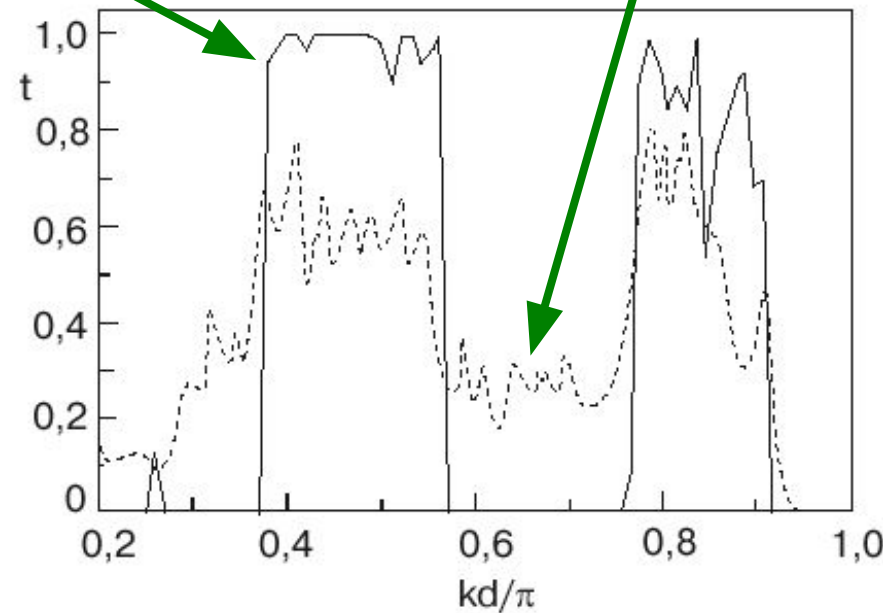
$$\beta_m = \frac{2}{\pi} \int_0^{\pi/2} \sqrt{\phi(\mu)} \cos(2m\mu) d\mu$$

Z_{m+n} – случайные числа из интервала [-1, +1]

Функция $\phi(\mu)$ определяет спектр пропускания

*Компьютерный
эксперимент,
 $N=10000$*

*Усредненный по пяти реализациям результат
реального микроволнового эксперимента,
 $N=100$*



*U.Kuhl, F.M.Izrailev, A.A.Krokhin, and H.-J.Stöckmann, Appl. Phys. Lett .77, 633
(2000)*